Morse 理论

基于 M. Spivak 和 R. Wells 的课程笔记

John Willard Milnor

前言

本书对 Marston Morse 的大变分理论进行了当代阐释。然而近几年的重要进展并未提及。以下将介绍其中三项:R. Palais 与 S. Smale 研究了无限维流形上实值函数的 Morse 理论,并给出了主要定理的直接证明,全程未使用有限维逼近。相关流形需在局部意义上与 Hilbert 空间微分同胚,且函数须满足弱紧性条件。以有限维流形 M 上的路径研究为例:可考虑由所有绝对连续路径 $\omega:[0,1]\to M$ 组成的 Hilbert 流形,这些路径需满足平方可积的一阶导数条件。相关论述详见 [1] 与 [2]。

Bott 周期性定理最初受到 Morse 理论的启发 (参见第四章)。然而,近期已给出更基础的证明,这些证明完全不涉及 Morse 理论。详见 [3] 及 [4]。

Morse 理论为 S. Smale、A. Wallace 等人推动微分拓扑学取得激动人心的进展提供了灵感,其中包括对高维广义 Poincaré 猜想的证明。我在 [5] 中尝试描述了部分相关研究成果。

请允许我借此机会澄清一个可能引起混淆的术语。在第 12 节中,我使用"能量"一词表示沿路 径 $\omega(t)$ 的积分

$$E = \int_0^1 \left\| \frac{\mathrm{d}\omega}{\mathrm{d}t} \right\|^2 \mathrm{d}t.$$

V. Arnol'd 向我指出,过去 200 年来数学家们将该积分称为"作用量"积分。这种术语差异源于该积分在物理模型中可作多重解释的事实。

考虑一个粒子 P 在时间间隔 $0 \le t \le 1$ 内沿着一个曲面 M 运动。粒子在此时间间隔内的**作用量 (action)** 定义为一个常数乘以积分 E。若无外力作用于 P (除将其限制在 M 内的约束力外),则 "最小作用量原理" 断言:在连接 $\omega(0)$ 与 $\omega(1)$ 的所有路径类中,E 将被最小化,或至少 E 的第一变分将为零。因此 P 必须沿测地线运动。但截然不同的物理模型是可能的。考虑一根橡皮筋横跨光滑曲面两点。若用参数方程 $x = \omega(t)$, $0 \le t \le 1$ 描述该橡皮筋,则张力产生的势能将与我们的积分 E 成正比(至少在一阶近似下成立)。在平衡位置处,该能量必须最小化,因此橡皮筋将描绘一条测地线。

下文除若干处修正外,与初版内容完全一致。谨向 V. Arnol'd、D. Epstein 和 Jr. W. B. Houston 指出修正之处表示感谢。

J. W. Milnor 洛杉矶, 1968 年 7 月

目录

第一	章 流形上的非退化光滑函数	1
§ 1.	引论	1
§ 2.	一些定义和引理	3
§ 3.	用临界值刻画流形的同伦型	8
§ 4.	例子	16
§ 5.	Morse 不等式	17
§ 6.	Euclid 空间中的流形	19
§ 7.	超平面截面上的 Lefschetz 定理	23
第二	章 Riemann 儿何概要	2 6
§ 8.	协变微分	26
§ 9.	曲率张量	26
§ 10.	测地线与完备性	26
第三	章 对变分学的应用:测地线	27
§ 11.	光滑流形的道路空间	27
§ 12.	道路的能量	27
§ 13.	能量函数在临界道路处的 Hesse 泛函	27
§ 14.	Jacobi 场, E_{**} 的零化子空间	27
§ 15.	指标定理	27
§ 16.	Ω^c 的有限维逼近	27
§ 17.	全道路空间的拓扑结构	27
§ 18.	非共轭点的存在性	27
§ 19.	拓扑结构与曲率的某些关系	27
第四	章 对 Lie 群和对称空间的应用	28
§ 20.	对称空间	28
§ 21.	Lie 群是对称空间	28
§ 22.	极小测地线组成的全流形	28
§ 23.	Bott 关于幺正群的周期性定理	28
§ 24.	正交群的周期性定理	28
附录	A 单调的并同伦型	2 9

第一章 流形上的非退化光滑函数

§ 1. 引论

在本节中,我们将通过一个具体实例说明后续将针对任意流形进行研究的情况。让我们考虑一个环面 M,其切于平面 V,如图 1.1 所示。

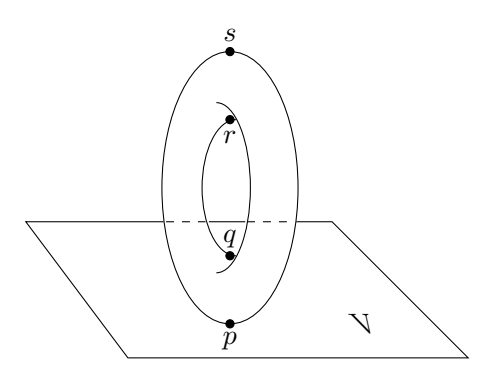
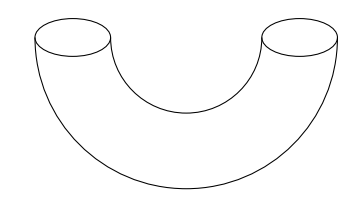


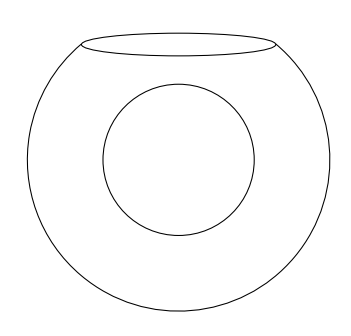
图 1.1

令 $f:M\to\mathbb{R}$ (\mathbb{R} 总表示实数) 是平面 V 上的高度,并令 M^a 为使得 f(x)< a 的所有点 $x\in M$ 的集合。则下列事情为真:

- (1) 如果 a < 0 = f(p), 则 M^a 是空集。
- (2) 如果 f(p) < a < f(q), 则 M^a 同胚于一个 2 维胞腔。
- (3) 如果 f(q) < a < f(r), 则 M^a 同胚于圆柱面:



(4) 如果 f(r) < a < f(s), 则 M^a 同胚于一个具有圆形边界亏格为 1 的紧致流形:



(5) 如果 f(s) < a, 则 M^a 是整个环面。

为了描述当 a 通过 f(p), f(q), f(r), f(s) 其中一点时 M^a 中发生的变化,考虑同伦型要比考虑同胚型更方便。就同伦型而言:

 $(1)\to(2)$ 的变化是粘合一个 0 维胞腔的运算。因为,就同伦型而言,当 f(p) < a < f(q) 时,空间 M^a 同一个 0 维胞腔毫无区别:

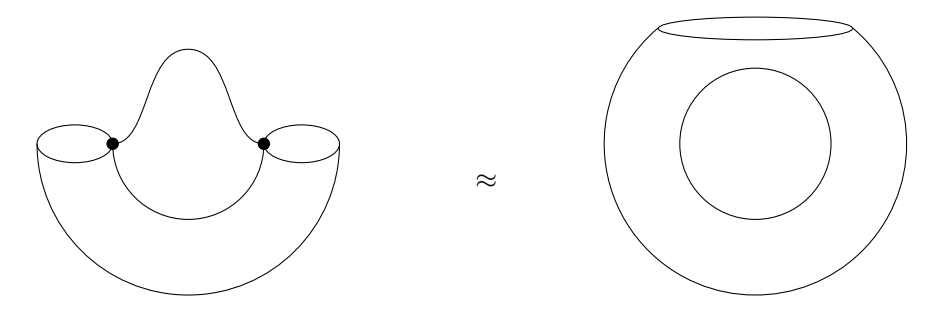


这里 "≈" 表示"具有相同的同伦型"。

(2)→(3) 的变化是粘合一个 1 维胞腔的运算:



(3)→(4) 的变化仍然是粘合一个 1 维胞腔的运算:



(4)→(5) 的变化是粘合一个 2 维胞腔的运算。

"粘合一个 k 维胞腔"的明确定义可以如下给出。令 Y 为任意拓扑空间,并且令

$$e^k = \{x \in \mathbb{R}^k : ||x|| \le 1\},\$$

是 k 维胞腔, 由 k 维 Euclid 空间中长度 ≤ 1 的所有向量组成。

边界

$$\dot{\mathbf{e}}^k = \{ x \in \mathbb{R}^k : ||x|| = 1 \},$$

记为 \mathbb{S}^{k-1} 。如果 $g: \mathbb{S}^{k-1} \to Y$ 是一个连续映射,则首先通过取 Y 和 e^k 的拓扑和(= 不交并),然后把每个 $x \in \mathbb{S}^{k-1}$ 和 $g(x) \in Y$ 一样来获得

$$Y \cup_q e^k$$
,

(用 g 粘合 Y 和 k 维胞腔 e^k)。就 k=0 的情形而言,令 e^0 是一个点,并且令 $\dot{e}^0=\mathbb{S}^{-1}$ 是空集,所以 Y 和一个 0 维胞腔粘合起来,不过就是 Y 和一个不交点的并。

正如我们可能想到, M^a 的同伦型发生变化的各点 p, q, r 和 s 的特性可以借助于函数 f 加以简单地刻画。这些点是函数的**临界点 (critical point)**: 如果我们在这些点的附近选择任意坐标系 (x,y),则导数 $\partial f/\partial x$ 和 $\partial f/\partial y$ 都为零。在 p 处,我们可以选择 (x,y) 使得 $f=x^2+y^2$,在 s 处 使得 f= 常数 $-x^2-y^2$,并且在 q 和 r 使得 f= 常数 $+x^2-y^2$ 。注意到在每一点处,f 的表达式

中负号的个数,正好就是从 M^a 到 M^b 时必须粘合的胞腔的维数,这里 a < f(所考虑的点) < b。我们的首先几个定理将把这些事实推广到流形上任意可微函数。

对于有关 Morse 理论的进一步信息, 下面的材料极为有用: [6], [7], [8], [9]。

§ 2. 一些定义和引理

词汇 "光滑" 和 "可微" 交替地用来表示 C^{∞} 可微。光滑流形 M 在点 p 处的切空间记为 TM_p 。如果 $g: M \to N$ 是一个光滑映射,g(p) = q,则 g 在切空间的诱导线性映射记为 $g_*: TM_p \to TN_q$ 。

现在令 f 是流形 M 上一个光滑实值函数。点 $p \in M$ 被称为 f 的**临界点** (critical point),如果诱导映射 $f_*: TM_p \to T\mathbb{R}_{f(p)}$ 是零映射。如果在点 p 的领域 U 中选取局域坐标系 (x^1, \ldots, x^n) ,则

$$\frac{\partial}{\partial x^1}(p) = \dots = \frac{\partial}{\partial x^n}(p) = 0.$$

实数 f(p) 称为 f 的**临界值 (critical value)**。

我们用 M^a 表示使得 $f(x) \leq a$ 的所有点 $x \in M$ 的集合。如果 a 不是 f 的一个临界值,则从 隐函数定理可得 M^a 是一个有边界的光滑流形。边界 $f^{-1}(a)$ 是 M 的光滑子流形。

一个临界点 p 被称为**非退化的** (non-degenerate), 当且仅当矩阵

$$\left(\frac{\partial^2 f}{\partial x^i \partial x^j}(p)\right)$$

是非奇异的。可以直接验证: 非退化性不依赖于坐标系的选择。这一点也可以从下面内禀性定义得出。

如果 p 是 f 的临界点,我们定义 TM_p 上的一个对称双线性泛函 f_{**} ,称为 f 在点 p 处的 **Hesse 泛函 (Hessian)**。若 $v,w \in TM_p$,则 v 和 w 可以扩张为向量场 \tilde{v} 和 \tilde{w} 。我们令 $^1f_{**}(v,w) = \tilde{v}_p(\tilde{w}(f))$,其中 \tilde{v}_p 当然就是 v。我们必须说明这是对称且良定义的。它是对称的因为

$$\widetilde{v}_p(\widetilde{w}(f)) - \widetilde{w}_p(\widetilde{v}(f)) = [\widetilde{v}, \widetilde{w}]_p(f) = 0,$$

其中, $[\widetilde{v},\widetilde{w}]$ 是 \widetilde{v} 和 \widetilde{w} 的 Poisson 括号, 而 $[\widetilde{v},\widetilde{w}]_p(f)=0$ 是由于 p 是 f 的临界点。

因此, f_{**} 是对称的。现在它显然是良定义的因为 $\widetilde{v}_p(\widetilde{w}(f)) = v_p(\widetilde{w}(f))$ 独立于 v 的扩张 \widetilde{v} ,而 $\widetilde{w}_p(\widetilde{v}(f))$ 独立于 \widetilde{w} 。

如果 $(x_1, ..., x_n)$ 是一个局部坐标系且 $v = \sum a_i \frac{\partial}{\partial x^i} \Big|_p$, $w = \sum b_j \frac{\partial}{\partial x^j} \Big|_p$, 我们可以取 $\widetilde{w} = \sum b_j \frac{\partial}{\partial x^j} \Big|_p$, 其中 b_j 现在记为一个常值函数。于是

$$f_{**}(v,w) = v(\widetilde{w}(f))(p) = v\left(\sum b_j \frac{\partial}{\partial x^j}\right)(p) = \sum_{i,j} a_i b_j \frac{\partial^2 f}{\partial x^i \partial x^j}(p);$$

所以矩阵 $\left(\frac{\partial^2 f}{\partial x^i \partial x^j}(p)\right)$ 是双线性泛函 f_{**} 在 $\left.\frac{\partial}{\partial x^1}\right|_p, \dots, \left.\frac{\partial}{\partial x^n}\right|_p$ 这组基下的表示。

我们现在可以讨论 TM_p 上双线性泛函 f_{**} 的**指标 (index)** 和**零化数 (nullity)**。在一个向量空间 V 上,双线性泛函 H 的指标 (index)被定义为 V 的一个子空间(在其上 H 是负定的)的最大维数;**零化数 (nullity)** 是**零化子空间 (null-space)** 的维度,而零化子空间,即:包括所有 $v \in V$ 使得对于每个 $w \in V$ 都有 H(v,w) = 0 的子空间。显然,点 $p \in f$ 的一个非退化临界点当且仅当 f_{**} 在 TM_p 上有零化数且为零。 f_{**} 在 TM_p 上的指标将被简称为 f 在 p 处的指标。Morse 的引理表明:f 在点 p 处的行为可以完全由这个指标刻画。在表述这个引理之前,我们首先证明下面:

 $[\]tilde{w}(f)$ 表示 f 在方向 \tilde{w} 上的方向导数。

引理 2.1. 令 f 是 \mathbb{R}^n 中 0 的一个凸邻域 V 中的一个 \mathcal{C}^{∞} 函数, 使得 f(0) = 0。则

$$f(x_1,...,x_n) = \sum_{i=1}^n x_i g_i(x_1,...,x_n),$$

对于某些定义在 V 中的适当的 \mathcal{C}^{∞} 函数 g_i ,使得 $g_i(0) = \frac{\partial f}{\partial r_i}(0)$ 。

证明:

$$f(x_1, \dots, x_n) = \int_0^1 \frac{\mathrm{d}f(tx_1, \dots, tx_n)}{\mathrm{d}t} \, \mathrm{d}t = \int_0^1 \sum_{i=1}^n \frac{\partial f}{\partial x_i}(tx_1, \dots, tx_n) \cdot x_i \, \mathrm{d}t.$$

因此我们可以令

$$g_i(x_1,\ldots,x_n) = \int_0^1 \frac{\partial f}{\partial x_i}(tx_1,\ldots,tx_n) dt.$$

引理 2.2 (Morse 引理). 令 $p \in f$ 的一个非退化临界点。则 p 的一个邻域 U 中存在一个局部坐标系 (y^1,\ldots,y^n) ,使得对于所有 i 有 $y^i(p)=0$,并且使得恒等式

$$f = f(p) - (y^1)^2 - \dots - (y^{\lambda})^2 + (y^{\lambda+1})^2 + \dots + (y^n)^2$$

在 U 中都成立,其中 λ 是 f 在 p 处的指标。证明:我们首先证明:如果对于 f 存在任何一个这样的表达式, λ 都一定是 f 在点 p 处的指标。对于任意坐标系 (z^1,\ldots,z^n) ,如果

$$f(q) = f(p) - (z^{1}(q))^{2} - \dots - (z^{\lambda}(q))^{2} + (z^{\lambda+1}(q))^{2} + \dots + (z^{n}(q))^{2}$$

则我们有

$$\frac{\partial^2 f}{\partial z^i \partial z^j}(p) = \begin{cases} -2 & \text{if } i = j \leq \lambda, \\ 2 & \text{if } i = j > \lambda, \\ 0 & \text{otherwise,} \end{cases}$$

这说明 f_{**} 在 $\left. \frac{\partial}{\partial z^1} \right|_p, \dots, \left. \frac{\partial}{\partial z^n} \right|_p$ 这组基下的矩阵表示是

$$\begin{pmatrix}
-2 & & & & & & \\
& \ddots & & & & & \\
& & -2 & & & & \\
& & & 2 & & & \\
& & & \ddots & & \\
& & & & 2
\end{pmatrix}$$

因此存在 TM_p 的一个 λ 维子空间,使得 f_{**} 为负定,并且存在一个 $n-\lambda$ 维子空间 V,使得 f_{**} 为正定。如果存在 TM_p 的一个子空间,其维数大于 λ ,使得在这个子空间上的 f_{**} 为负定,那么这个空间就会与 V 相交,这显然是不可能的,因此 λ 是 f_{**} 的指标。

我们现在来说明这样一个合适坐标系 (y^1,\ldots,y^n) 存在。显然,我们可以假设 p 是 \mathbb{R}^n 的原点并且 f(p)=f(0)=0。通过引理 2.1,我们可以写

$$f(x_1, \dots, x_n) = \sum_{j=1}^n x_j g_j(x_1, \dots, x_n)$$

其中, (x_1,\ldots,x_2) 在原点 0 的某个领域中。由于点 0 被假设为一个临界点:

$$g_j(0) = \frac{\partial f}{\partial x_j}(0) = 0.$$

因此,应用引理 2.1 于 g_j ,我们有

$$g_j(x_1, \dots, x_n) = \sum_{i=1}^n x_i h_{ij}(x_1, \dots, x_n)$$

其中, h_{ij} 是某些确定的光滑函数,从而

$$f(x_1, \dots, x_n) = \sum_{i,j=1}^n x_i x_j h_{ij}(x_1, \dots, x_n).$$

我们可以假设 $h_{ij} = h_{ji}$, 因为我们可以记 $\overline{h}_{ij} = \frac{1}{2}(h_{ij} + h_{ji})$, 则有 $\overline{h}_{ij} = \overline{h}_{ji}$, 并且 $f = \sum x_i x_j \overline{h}_{ij}$ 。 此外,矩阵 $(\overline{h}_{ij}(0))$ 等于 $\left(\frac{1}{2} \frac{\partial^2 f}{\partial x_i \partial x_j}(0)\right)$,并且因此是非奇异的。

于是,存在一个非奇异坐标变换,使得 f 在原点 0 的某个可能更小的邻域中有所要的表达式。要看出这点我们可以完全仿照对二次型一般对角化的证明 (例如见 [10])。关键的一步描述如下:

用归纳法, 假设在 0 的某个邻域 U_1 中, 存在坐标系 (u_1,\ldots,u_n) , 使得在整个 U_1 中

$$f = \pm (u_1)^1 \pm \cdots \pm (u_{r-1})^2 + \sum_{i,j \geqslant r} u_i u_j H_{ij}(u_1, \dots, u_n);$$

其中,矩阵 $(H_{ij}(u_1,\ldots,u_n))$ 是对称的。对最后 n-r+1 个坐标进行线性变换后,我们可以假设 $H_{rr}(0) \neq 0$ 。记 $g(u_1,\ldots,u_n)$ 为 $|H_{rr}(u_1,\ldots,u_n)|$ 的平方根。它在 0 的某些更小的领域 $U_2 \subset U_1$ 中是 u_1,\ldots,u_n 的非零光滑函数。现在引入新坐标 v_1,\ldots,v_n 如下:

$$v_i = u_i$$
, $\text{mR}i \neq r$,

$$v_r(u_1, \dots, u_n) = g(u_1, \dots, u_n) \left[u_r + \sum_{i \in r} u_i \frac{H_{ir}(u_1, \dots, u_n)}{H_{rr}(u_1, \dots, u_n)} \right].$$

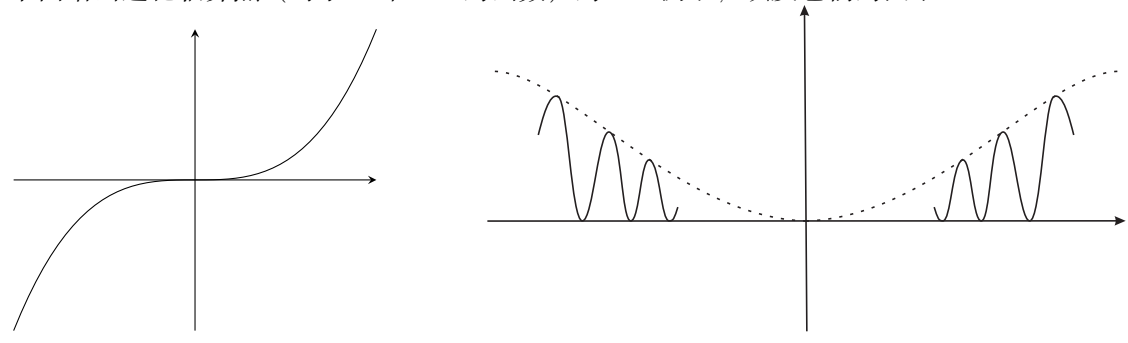
从反函数定理可以得到,在 0 的某个充分小的邻域 U_3 中, v_1, \ldots, v_n 可以取作坐标函数。容易验证,在整个 U_3 中, f 可以表述为

$$f = \sum_{i \le r} \pm (v_i)^2 + \sum_{i,j>r} v_i v_j H'_{ij}(v_1, \dots, v_n).$$

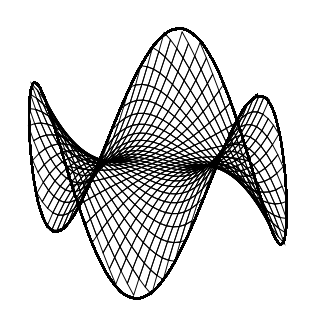
这完成了归纳证明;并证明了引理 2.2。

推论 2.3. 非退化临界点是孤立的。

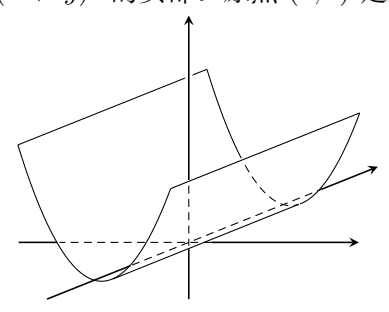
下面给出退化临界点(对于 \mathbb{R} 和 \mathbb{R}^2 的函数)的一些例子,以及它们的图示。



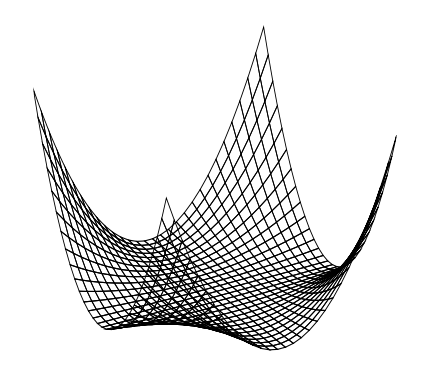
(a) $f(x) = x^3$ 。原点是退化的临界点。 (b) $f(x) = e^{-\frac{1}{x^2}} \sin^2\left(\frac{1}{x}\right)$ 。原点是退化的非孤立临界点。



(c) $f(x,y) = x^3 - 3xy^2 = (x + iy)^3$ 的实部。原点 (0,0) 是退化的临界点("猴鞍点")。



(d) $f(x,y) = x^2$ 。临界点集是 y 轴,它是 \mathbb{R}^2 的子流形。临界点全是退化的。



(e) $f(x,y)=x^2y^2$ 。临界点全是退化的。临界点集是 x 轴和 y 轴的并,不是 \mathbb{R}^2 的子流形。在结束本节之前,让我们来讨论单参数微分同胚群。想要深究的读者可以参考 K. Nomizu 的 Lie Groups and Differential Geometry。

流形 M 的单参数微分同胚群是一个 \mathcal{C}^{∞} 映射

$$\varphi: \mathbb{R} \times M \to M$$
,

使得

- (1) 对于每个 $t \in \mathbb{R}$,由 $\varphi_t(q) = \varphi(t,q)$ 定义的映射 $\varphi_t : M \to M$,是一个把 M 映成自己的微分 同胚。
- (2) 对于所有 $t, s \in \mathbb{R}$, 有 $\varphi_{t+s} = \varphi_t \circ \varphi_s$ 。

给定 M 的一个单参数微分同胚群 φ ,我们可以定义 M 上的一个向量场 X 如下:对于每个光滑实值函数 f,令

$$X_q(f) = \lim_{h \to 0} \frac{f(\varphi_h(q)) - f(q)}{h}$$

这个向量场 X 被称为**产生** (generate) 群 φ .

引理 2.4. 如果 M 上的光滑向量场 X 在一个紧致集 $K \subset M$ 之外为零,则 X 产生 M 的唯一一个单参数微分同胚群 φ 。

证明: 给定任意光滑曲线

$$t \mapsto c(t) \in M$$

我们定义它的速度向量 (velocity vector)

$$\frac{\mathrm{d}c}{\mathrm{d}t} \in TM_{c(t)}$$

为

$$\frac{\mathrm{d}c}{\mathrm{d}t}(f) = \lim_{h \to 0} \frac{f(c(t+h)) - f(c(t))}{h}$$

(与第8节比较)。现在假设 φ 是一个单参数微分同胚群,由向量场 X 所产生。则对于每个确定的 q,曲线

$$t \mapsto \varphi_t(q)$$

满足微分方程

$$\frac{\mathrm{d}\varphi_t(q)}{\mathrm{d}t} = X_{\varphi_t(q)}$$

以及初始条件 $\varphi_0(q) = q$ 。这是真的因为

$$\frac{\mathrm{d}\varphi_t(q)}{\mathrm{d}t}(f) = \lim_{h \to 0} \frac{f(\varphi_{t+h}(q)) - f(\varphi_t(q))}{h} = \lim_{h \to 0} \frac{f(\varphi_h(p)) - f(p)}{h} = X_p(f),$$

其中 $p=\varphi_t(q)$ 。但是,大家知道这样一个微分方程,局部有唯一解,光滑依赖于初始条件。(见 [11],第 166 页。注意到,这个微分方程可以使用局部坐标 u^1,\ldots,u^n 改写为比较熟悉的形式: $\frac{\mathrm{d}u^i}{\mathrm{d}t}=x^i(u^1,\ldots,u^n),\ i=1,\ldots,n$ 。)

因此对于 M 的每个点,存在一个邻域 U 和一个数 $\varepsilon > 0$,使得当 $q \in U$, $|t| < \varepsilon$ 时,微分方程

$$\frac{\mathrm{d}\varphi_t(q)}{\mathrm{d}t} = X_{\varphi_t(q)}, \qquad \varphi_0(q) = q$$

具有唯一光滑解。

紧致集 K 可以用有限多个这样的邻域 U 覆盖。令 $\varepsilon_0 > 0$ 表示对应数 ε 中最小的数。对于 $q \notin K$,令 $\varphi_t(q) = q$,则对于 $|t| < \varepsilon_0$ 和对于所有 $q \in M$,这个微分方程具有唯一解 $\varphi_t(q)$ 。这个解作为双变量函数是光滑的。此外,如果 |t|,|s|, $|t+s| < \varepsilon_0$,显然有 $\varphi_{t+s} = \varphi_t \circ \varphi_s$ 。因此,每个这样的 φ_t 都是一个微分同胚。

现在只剩下对 $|t| \geqslant \varepsilon_0$,定义 ε_t 。任意数 t 可以表示成 $\frac{\varepsilon_0}{2}$ 的倍数再加上一个余数 r,其中 $|r| < \frac{\varepsilon_0}{2}$ 。如果 $t = k\frac{\varepsilon_0}{2} + r$, $k \geqslant 0$,则令

$$\varphi_t = \varphi_{\frac{\varepsilon_0}{2}} \circ \varphi_{\frac{\varepsilon_0}{2}} \circ \cdots \varphi_{\frac{\varepsilon_0}{2}} \circ \varphi_r,$$

其中 $\varphi_{\frac{c_0}{2}}$ 重复变换 k 次。如果 k<0,只需用 $\varphi_{\frac{c_0}{2}}$ 代替 $\varphi_{\frac{c_0}{2}}$ 并重复 -k 次即可,因此 φ_t 对 t 的所有值是有定义的。不难验证, φ_t 是良定义的、光滑的,并且满足条件 $\varphi_{t+s}=\varphi_t\circ\varphi_s$ 。这样就完成了对引理 2.4 的证明。

注. 假设 X 的一个紧致集之外为零不能忽略。举例而言,令 M 是单位开区间 $(0,1)\subset\mathbb{R}$,并且令 X 是 M 上的标准向量场 $\frac{\mathrm{d}}{\mathrm{d}t}$,则 X 不产生 M 的任何单参数微分同胚群。

§ 3. 用临界值刻画流形的同伦型

在这一整节里,如果 f 是流形 M 上的实值函数,则令

$$M^a = f^{-1}(-\infty, a] = \{ p \in M : f(p) \le a \}.$$

定理 3.1. 令 f 是流形 M 上的光滑实值函数。令 a < b 并且假设集合 $f^{-1}[a,b] = \{p \in M : a \le f(p) \le b\}$ 是紧致集,不含 f 的临界点,则 M^a 微分同胚于 M^b 。此外, M^a 是 M^b 的形变收缩核,所以包含映射 $M^a \to M^b$ 是一个同伦等价。

证明:证明的思想在于沿着超曲面 $f = 常数的正交轨道把 M^b$ 向下推到 M^a (见图 3.1)。

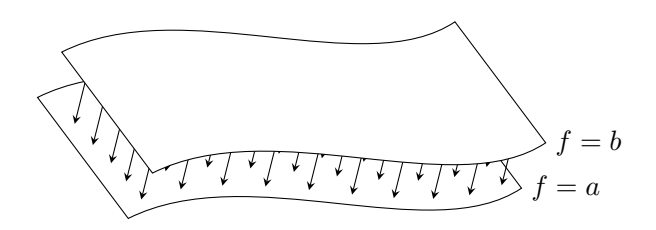


图 3.1

在 M 上选择一个 Riemann 度规;并令 $\langle x,y\rangle$ 表示两个切向量的内积,由这个度规所确定。f 的**梯度(gradient)**是 M 上的向量场 $\operatorname{grad} f$,由下面这个恒等式²完全描述:对于任意向量场 X,

$$\langle X, \operatorname{grad} f \rangle = X(f)$$

(=f 沿着 X 的方向导数)。向量场 $\operatorname{grad} f$ 在 f 的临界点正好为零。如果 $c: \mathbb{R} \to M$ 是一条曲线,其速度向量为 $\frac{\mathrm{d} c}{\mathrm{d} t}$,则有恒等式

$$\left\langle \frac{\mathrm{d}c}{\mathrm{d}t}, \mathrm{grad}f \right\rangle = \frac{\mathrm{d}(f \circ c)}{\mathrm{d}t}.$$

现在令 $\rho:M\to\mathbb{R}$ 是一个光滑函数,在整个紧致集 $f^{-1}[a,b]$ 上 $\frac{1}{\langle \mathrm{grad}f,\mathrm{grad}f\rangle}$;而在这个集合的某个紧致领域之外为零。于是,由

$$X_q = \rho(q)(\operatorname{grad} f)_q$$

定义的向量场 X 满足引理 2.4 的条件。因此,X 产生的一个单参数微分同胚群

$$\varphi_t: M \to M$$
.

对于确定的 $q \in M$,考虑函数 $t \to f(\varphi_t(q))$ 。如果 $\varphi_t(q)$ 位于集合 $f^{-1}[a,b]$,则

$$\frac{f(\varphi_t(q))}{\mathrm{d}t} = \left\langle \frac{\mathrm{d}\varphi_t(q)}{\mathrm{d}t}, \mathrm{grad}f \right\rangle = \left\langle X, \mathrm{grad}f \right\rangle = +1.$$

因此, 只要 $f(\varphi_t(q))$ 在 a 和 b 之间,则对应关系

$$t \mapsto f(\varphi_t(q))$$

是线性的,并且导数为+1。

 $^{^2}$ 用经典记号,使用局部坐标 u^1, \ldots, u^n ,梯度向量的分量为 $\sum_j g^{ij} \frac{\partial f}{\partial u^j}$ 。

现在考虑微分同胚 $\varphi_{b-a}: M \to M$ 。显然,这个映射把 M^a 微分同胚地映射成 M^b 。这就证明了定理 3.1 的前一半。

定义一个单参数映射族

$$r_t: M^b \to M^b$$

为

$$r_t(q) = \begin{cases} q, & \text{mft } f(q) \leq a, \\ \varphi_{t(a-f(q))}(q), & \text{mft } a \leq f(q) \leq b. \end{cases}$$

则 r_0 是恒等映射,而 r_1 是从 M^b 到 M^a 的收缩映射。因此, M^a 是 M^b 的一个收缩核。这完成了证明。

注. $f^{-1}[a,b]$ 是紧致的这个条件不能忽略。举例来说,图 3.2 表示这个集合不是紧致的情况,其中流形 M 不含点 p。显然, M^a 不是 M^b 的形变收缩核。

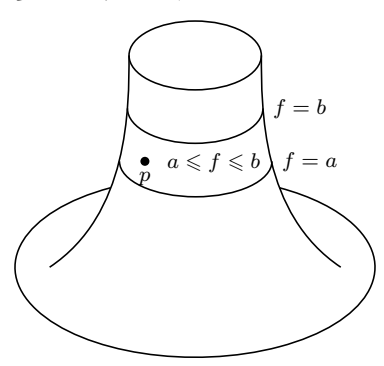


图 3.2

定理 3.2. 令 $f: M \to \mathbb{R}$ 是一个光滑函数,并令 p 是一个其指标为 λ 的非退化临界点。设 f(p) = c,对于一些 $\varepsilon > 0$,假设集合 $f^{-1}[c - \varepsilon, c + \varepsilon]$ 是紧致的,并且除了点 p 以外不再含有 f 的其它临界点。则对于足够小的 ε ,集合 $M^{c+\varepsilon}$ 的同伦型与 $M^{c-\varepsilon}$ 粘上一个 λ 维胞腔后的同伦型相同。

这一定理的证明思路针对环面上的高度函数这一特殊情形,在图 3.3 中予以展示。区域

$$M^{c-\varepsilon} = f^{-1}(-\infty, c-\varepsilon)$$

用重阴影来表示。我们将引入一个新函数 $F: M \to \mathbb{R}$,使得在点 p 的某个小邻域中 F < f,而在这个邻域之外 F 和高度函数 f 完全相同。因此,区域 $F^{-1}(-\infty,c-\varepsilon]$ 就由 $M^{c-\varepsilon}$ 以及点 p 附近的一个区域 H 组成。在图 3.3 中,H 使用水平阴影区域来表示的。

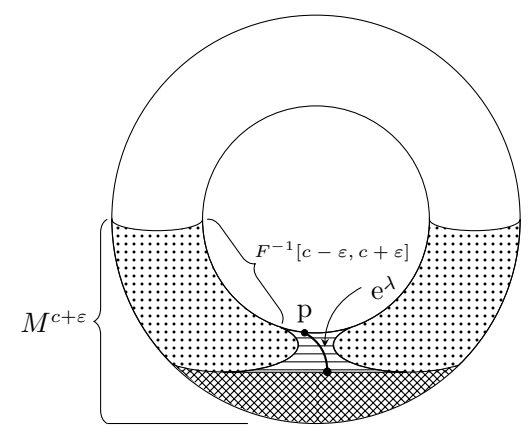


图 3.3

选择一个合适的胞腔 $e^{\lambda} \subset H$,(利用沿水平线的推移)可以直接说明 $M^{c-\varepsilon} \cup e^{\lambda}$ 是 $M^{c-\varepsilon} \cup H$ 的形变收缩核。最后,通过对函数 F 和区域 $F^{-1}[c-\varepsilon,c+\varepsilon]$ 应用定理 3.1,我们将会看到 $M^{c-\varepsilon} \cup H$ 是 $M^{c+\varepsilon}$ 的一个形变收缩核。这就是证明定理 3.2 的思想。

现在把这个证明详细写出来:

证明: 选取点 p 的邻域 U 中局部坐标系 u^1, \ldots, u^n , 使得恒等式

$$f = c - (u^1)^2 - \dots - (u^{\lambda})^2 + (u^{\lambda+1})^2 + \dots + (u^n)^2$$

在整个 U 中都成立。因此,临界点 p 具有坐标

$$u^1(p) = \dots = u^n(p) = 0.$$

取 $\varepsilon > 0$ 足够小, 使得

- (1) 区域 $f^{-1}[c-\varepsilon,c+\varepsilon]$ 是紧致的,并且除了点 p 外不再含有其它临界点。
- (2) 在微分同胚嵌入映射

$$(u^1,\ldots,u^n):U\to\mathbb{R}^n$$

下, U 的像包含闭球

$$\{(u^1,\ldots,u^n): \sum (u^i)^2 \leqslant 2\varepsilon\}.$$

现在定义 e^{λ} 为 U 中的点的集合,满足

$$(u^1)^2 + \dots + (u^{\lambda})^2 \leqslant \varepsilon \not\exists u^{\lambda+1} = \dots = u^n = 0.$$

最终情形的示意图如图 3.4 所示。

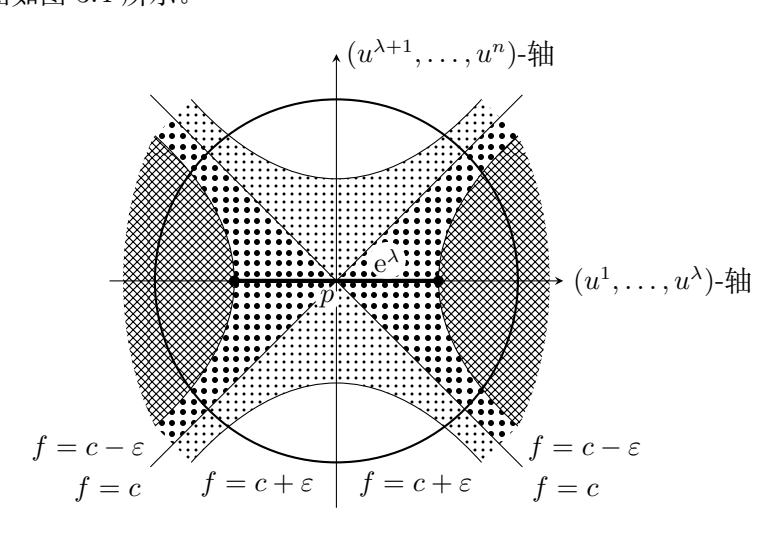


图 3.4

两根坐标线分别表示 $u^{\lambda+1}=\cdots=u^n=0$ 和 $u^1=\cdots=u^{\lambda}=0$; 圆表示半径为 $\sqrt{2\varepsilon}$ 的球的边界; 两条双曲线分别表示超曲面 $f^{-1}(c-\varepsilon)$ 和 $f^{-1}(c+\varepsilon)$; 区域 $M^{c-\varepsilon}$ 用重阴影表示,区域 $f^{-1}[c-\varepsilon,c]$ 用大点表示, $f^{-1}[c,c+\varepsilon]$ 则用小点表示;通过点 p 的水平黑线代表胞腔 e^{λ} 。

注意, $e^{\lambda} \cap M^{c-\varepsilon}$ 正好是边界 \dot{e}^{λ} ,所以 e^{λ} 和 $M^{c-\varepsilon}$ 自然粘合为 $M^{c-\varepsilon} \cup e^{\lambda}$ 。我们必须证明 $M^{c-\varepsilon} \cup e^{\lambda}$ 是 $M^{c+\varepsilon}$ 的收缩核。

构造一个新的光滑函数 $F:M\to\mathbb{R}$ 如下。令 $\mu:\mathbb{R}\to\mathbb{R}$ 是一个 \mathcal{C}^∞ 函数满足条件:

• $\mu(0) > \varepsilon$,

- 对于 $r \ge 2\varepsilon$ 有 $\mu(r) = 0$,
- 对于一切 r 有 $-1 < \mu'(r) \le 0$,其中 $\mu' = \frac{\mathrm{d}\mu}{\mathrm{d}r}$ 。

现在令 F 在坐标领域 U 之外与 f 一致, 而在这个坐标邻域内, 则令

$$F = f - \mu[(u^1)^2 + \dots + (u^{\lambda})^2 + 2(u^{\lambda+1})^2 + \dots + 2(u^n)^2].$$

容易验证在整个 M 上, F 是一个良定义的光滑函数。

为了方便定义两个函数

$$\xi, \eta: U \to [0, \infty)$$

为

$$\xi = (u^1)^2 + \dots + (u^{\lambda})^2,$$

$$\eta = (u^{\lambda+1})^2 + \dots + (u^n)^2.$$

则 $f = c - \xi + \eta$; 使得对于所有 $q \in U$,

$$F(q) = c - \xi(q) + \eta(q) - \mu(\xi(q) + 2\eta(q)).$$

结论 1. 区域 $F^{-1}(-\infty, c+\varepsilon]$ 和区域 $M^{c+\varepsilon} = f^{-1}(-\infty, c+\varepsilon]$ 重合。

证明:在椭球 $\xi + 2\eta \le 2\varepsilon$ 之外,函数 F 和 f 显然是相同的。在一个椭球之内,我们有

$$F \leqslant f = c - \xi + \eta \leqslant c + \frac{1}{2}\xi + \eta \leqslant c + \varepsilon.$$

证毕。

结论 2. F 和 f 具有同样的临界点。

证明: 注意

$$\frac{\partial F}{\partial \xi} = -1 - \mu'(\xi + 2\eta) < 0,$$

$$\frac{\partial F}{\partial \eta} = 1 - 2\mu'(\xi + 2\eta) \geqslant 1.$$

由于

$$\mathrm{d}F = \frac{\partial F}{\partial \xi} \mathrm{d}\xi + \frac{\partial F}{\partial \eta} \mathrm{d}\eta,$$

其中,余切向量 dξ 和 dη 只在原点处才同时为零,可见除了原点 p 外,F 在 U 中没有其它临界点。 现在考虑区域 $F^{-1}[c-\varepsilon,c+\varepsilon]$ 。根据结论 1 以及不等式 $F\leqslant f$,我们看出

$$F^{-1}[c-\varepsilon,c+\varepsilon] \subset f^{-1}[c-\varepsilon,c+\varepsilon].$$

因此,这个区域是紧致的。显然,它除了可能含有点 p 以外不能含有 F 的其它临界点。但是

$$F(p) = c - \mu(0) < c - \varepsilon,$$

因此, $F^{-1}[c-\varepsilon,c+\varepsilon]$ 不含 F 的任意临界点。结合定理 3.1, 这证明了以下结论。

结论 3. 区域 $F^{-1}(-\infty, c-\varepsilon]$ 是 $M^{c+\varepsilon}$ 的形变收缩核。

为了方便记区域 $F^{-1}(-\infty,c-\varepsilon]$ 为 $M^{c-\varepsilon}\cup H$; 其中,H 记为 $F^{-1}(-\infty,c-\varepsilon]-M^{c-\varepsilon}$ 的闭包。 **注.** 按照 Smale 的说法,区域 $M^{c-\varepsilon}\cup H$ 被描述成 $M^{c-\varepsilon}$ 和一条 "柄" 粘起来。从定理 3.1 可见,有 边流形 $M^{c-\varepsilon}\cup H$ 微分同胚于 $M^{c+\varepsilon}$ 。这个事实在 Smale 的微分流形理论中是很重要的。(见 [12])。 现在考虑胞腔 e^{λ} , 由满足条件

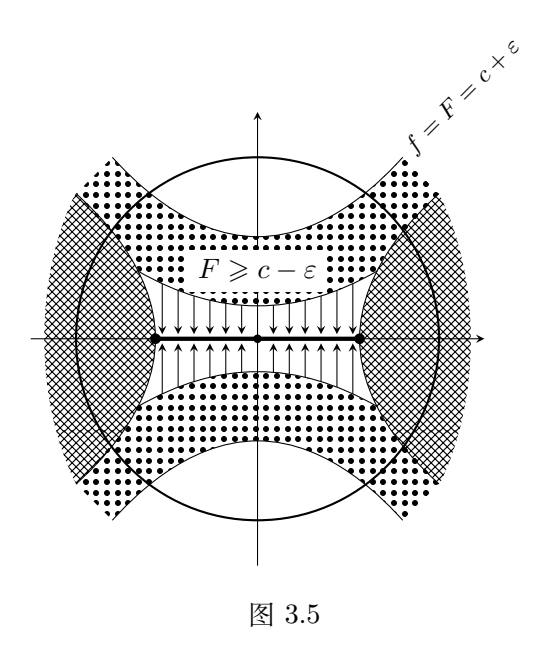
$$\xi(q) \leqslant \varepsilon, \quad \eta(q) = 0$$

的所有点 $q \in U$ 组成。注意, e^{λ} 含于"柄"H 中。事实上,由于 $\frac{\partial F}{\partial \xi} < 0$,我们有

$$F(q) \leqslant F(p) < c - \varepsilon;$$

但在 $q \in e^{\lambda}$ 时 $f(q) \geqslant c - \varepsilon$ 。

现在的情况如图 3.5 所示: 区域 $M^{c-\varepsilon}$ 用重阴影表示; 柄 H 用铅直箭头表示; 区域 $F^{-1}[c-\varepsilon,c+\varepsilon]$ 则用点表示。



结论 4. 区域 $M^{c-\varepsilon} \cup e^{\lambda}$ 是 $M^{c-\varepsilon} \cup H$ 的形变收缩核。

证明:图 3.5 中的铅直箭头形象地表示出一个形变收缩映射 $r_t:M^{c-\varepsilon}\cup H\to M^{c-\varepsilon}\cup H$ 。更确切的说,在邻域 U 之外,令 r_t 是恒等映射;在邻域 U 之内 r_t 的定义如下。我们需要分别考虑如图 3.6所示的三种情形。

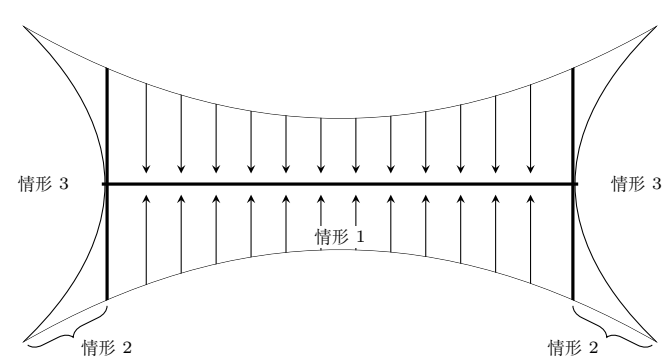


图 3.6

情形 1: 在区域 $\xi \leq \varepsilon$ 之内, 令 r_t 对应于变换

$$(u^1,\ldots,u^n)\mapsto (u^1,\ldots,u^{\lambda},tu^{\lambda+1},\ldots,tu^n).$$

因此, r_1 是恒等映射, r_0 将整个区域 $\xi \leqslant \varepsilon$ 映到 e^{λ} 。从不等式 $\frac{\partial F}{\partial \eta} > 0$ 可见, 每个 r_t 都把区域 $F^{-1}(-\infty, c-\varepsilon]$ 映射到它本身。

情形 2: 在区域 $\varepsilon \leq \xi \leq \eta + \varepsilon$ 之内, 今 r_t 对应于变换

$$(u^1,\ldots,u^n)\mapsto (u^1,\ldots,u^{\lambda},s_tu^{\lambda+1},\ldots,s_tu^n)$$

其中数 $s_t \in [0,1]$ 定义为

$$s_t = t + (1 - t) \left(\frac{\xi - \varepsilon}{\eta}\right)^{\frac{1}{2}}.$$

因此, r_1 再一次是恒等映射,并且 r_0 将整个区域映射到超曲面 $f^{-1}(c-\varepsilon)$ 。读者应该验证函数 $s_t u^i$ 在 $\xi \to \varepsilon$, $\eta \to 0$ 时保持连续。注意到这个定义在 $\xi = \varepsilon$ 时与情形 1 的定义一致。

情形 3: 在区域 $\eta + \varepsilon \le \xi$ 内(即:在 $M^{c-\varepsilon}$ 内)。令 r_t 是恒等映射。当 $\xi = \eta + \varepsilon$ 时,这个定义与前面的定义是一致的。

这就证明了 $M^{c-\varepsilon} \cup e^{\lambda}$ 是 $F^{-1}(-\infty, c-\varepsilon]$ 的形变收缩核。从而,再结合结论 3,就完成了定理 3.2 的证明。

注 3.3. 更一般地,如果假设:在 $f^{-1}(c)$ 中存在k个非退化临界点 p_1,\ldots,p_k ,指数分别为 $\lambda_1,\ldots,\lambda_k$,那么可以类似地证明: $M^{c+\varepsilon}$ 和 $M^{c-\varepsilon} \cup e^{\lambda_1} \cup \cdots \cup e^{\lambda_k}$ 具有相同的同伦型。

注 3.4. 把定理 3.2 的证明稍加修改,可以证明: M^c 也是 $M^{c+\varepsilon}$ 的形变收缩核。事实上, M^c 是 $F^{-1}(-\infty,c)$ 的形变收缩核,而 $F^{-1}(-\infty,c)$ 则是 $M^{c+\varepsilon}$ 的形变收缩核(见图 3.7)。将这一事实与 定理 3.2 结合,我们很容易看到 $M^{c-\varepsilon} \cup e^{\lambda}$ 是 M^c 的形变收缩核。

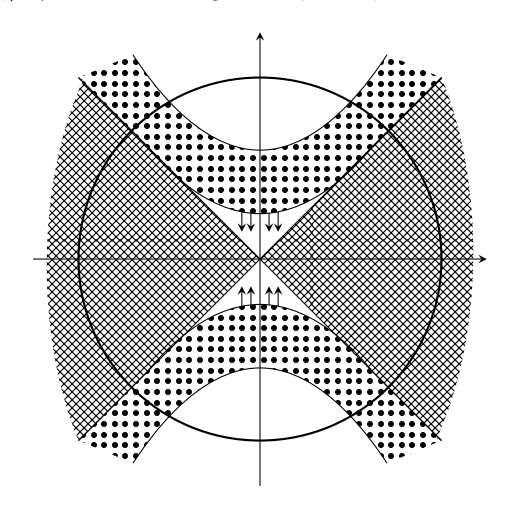


图 3.7: M^c 用重阴影表示, $F^{-1}[c,c+\varepsilon]$ 用点表示。

定理 3.5. 如果 f 是流形 M 上的可微函数,没有退化临界点,并且每个 M^a 都是紧致集,那么 M 具有一个 CW 复形的同伦型: 对于指数为 λ 的每个临界点,这个复形有一个 λ 维胞腔。

(CW 复形的定义见 [13])。

证明基于下面两个引理,讨论一个拓扑空间和一个胞腔的粘合问题。

引理 3.6 (Whitehead). 令 φ_0 和 φ_1 是将球面 e^{λ} 映射到 X 的两个同伦映射,则 X 的恒等映射可以扩张为一个同伦等价

$$k: X \underset{\varphi_0}{\cup} e^{\lambda} \to X \underset{\varphi_1}{\cup} e^{\lambda}.$$

证明: 用下面的公式来定义同伦等价 k:

k(x) = x, 如果 $x \in X,$

k(tu) = 2tu, $\text{upp} 0 \leqslant t \leqslant u \in \dot{e}^{\lambda},$

 $k(tu) = \varphi_{2-2t}(u), \quad \text{in } \mathbb{R}^{\frac{1}{2}} \leqslant t \leqslant 1, u \in \dot{\mathbf{e}}^{\lambda}.$

其中, φ_t 记为 φ_0 和 φ_1 之间的同伦; 而 tu 记为标量 t 和单位向量 u 的乘积。对应的映射

$$\ell: X \underset{\varphi_1}{\cup} \mathrm{e}^{\lambda} \to X \underset{\varphi_0}{\cup} \mathrm{e}^{\lambda}$$

被定义为类似的公式。现在不难验证 $k\ell$ 和 ℓk 同伦于对应的恒等映射。因此 k 是一个同伦等价。 \square 更多细节读者可以参考 [14] 的引理 5。

引理 3.7. $\diamond \varphi : \dot{e}^{\lambda} \to X$ 是一个粘合映射,那么任何同伦等价 $f: X \to Y$ 都可扩张为同伦等价

$$F: X \underset{\varphi}{\cup} e^{\lambda} \to Y \underset{f \circ \varphi}{\cup} e^{\lambda}.$$

证明: (按照 P. Hilton 的一篇未发表的文章)。映射 F 用下列条件定义:

$$\begin{cases} F|_X = f, \\ F|_{e^{\lambda}} = 恒等映射. \end{cases}$$

$$G: Y \underset{f \circ \varphi}{\cup} e^{\lambda} \to Y \underset{g \circ f \circ \varphi}{\cup} e^{\lambda}$$

用对应的条件定义:

$$\begin{cases} G|_Y = g, \\ G|_{e^{\lambda}} = 恒等映射. \end{cases}$$

由于 $g \circ f \circ \varphi$ 同伦于 φ , 从引理 3.6 可见, 存在同伦等价

$$k: X \underset{g \circ f \circ \varphi}{\cup} e^{\lambda} \to X \underset{\varphi}{\cup} e^{\lambda}.$$

我们先证明:复合映射

$$k \circ G \circ F : X \underset{\varphi}{\cup} e^{\lambda} \to X \underset{\varphi}{\cup} e^{\lambda}$$

同伦于恒等映射。

令 h_t 是 $g \circ f$ 和恒等映射之间的同伦, 从 k, G 和 F 的各个定义可见

于是, 所要的同伦

$$q_{\tau}: X \underset{\varphi}{\cup} \mathrm{e}^{\lambda} \to X \underset{\varphi}{\cup} \mathrm{e}^{\lambda}$$

就用下面的公式来定义:

因此, F 有左同伦逆。

根据下面的定理,证明 F 是同伦等价的论证将完全是形式化的。

结论 5. 如果一个映射 F 有一个左同伦逆 L 和一个右同伦逆 R, 则 F 是一个同伦等价; 并且 R (或 L) 是一个两边同伦逆。

证明: 关系

 $L \circ F \simeq$ 恒等映射, $F \circ R \simeq$ 恒等映射,

意味着

$$L \simeq L(F \circ R) = (L \circ F)R \simeq R.$$

因此

 $R \circ F \simeq L \circ F \simeq$ 恒等映射,

证明了 R 是一个两边同伦逆。

引理 3.7 的证明现在可以如下完成。关系

$$k \circ F \circ G \simeq$$
 恒等映射,

说明 F 有一个左同伦逆;并且一个类似的证明说明 G 有一个左同伦逆。

步骤一: 因为 $k(G \circ F) \simeq$ 恒等映射, 而 k 已知具有左同伦逆, 可得 $(G \circ F)k \simeq$ 恒等映射。

步骤二: 因为 $G(F \circ k) \simeq$ 恒等映射, 而 G 已知具有左同伦逆, 可得 $(F \circ k)G \simeq$ 恒等映射。

步骤三: 因为 $F(k \circ G) \simeq$ 恒等映射, 而 $F \cup K \circ G$ 作为左同伦逆, 可得 F 是一个同伦等价。

这完成了引理 3.7 的证明。

证明: (定理 3.5 的证明) 令 $c_1 < c_2 < c_3 < \cdots$ 为 $f: M \to \mathbb{R}$ 的临界值。因为每个 M^a 都是紧致集,所以序列 $\{c_i\}$ 没有聚点。对于 $a < c_1$,集合 M^a 是空集。假设 $a \neq c_1, c_2, c_3, \ldots$,并且 M^a 具有一个 CW 复形的同伦型。令 c 是所有 $c_i > a$ 的最小者。通过定理 3.1,3.2 和 3.5,当 ε 充分小时,对于确定的映射 $\varphi_1, \ldots, \varphi_{j(c)}, M^{c+\varepsilon}$ 具有 $M^{c-\varepsilon} \cup_{\varphi_1} e^{\lambda_1} \cup \cdots \cup_{\varphi_{j(c)}} e^{\lambda_{j(c)}}$ 的同伦型,并且存在同伦等价 $h: M^{c-\varepsilon} \to M^a$ 。我们已经假设:存在同伦等价 $h': M^a \to K$,其中 K 是一个 CW 复形。

于是每个 $h' \circ h \circ \varphi_i$ 通过胞腔逼近之后都同伦于一个映射

$$\psi_j: \dot{\mathbf{e}}^{\lambda_j} \to K \dot{\mathbf{n}} (\lambda_j - 1) - \mathbf{\mathfrak{4}} \mathbf{\mathfrak{F}} \mathbf{\mathfrak{X}}.$$

则 $K \cup e^{\lambda_1} \cup \cdots \cup e^{\lambda_{j(c)}}$ 是一个 CW 复形,并且根据引理 3.6 和 3.7,它和 $M^{c+\varepsilon}$ 有相同的同伦型。通过归纳法,任何 M^a 都具有 CW 复形的同伦型。如果 M 是紧致的,则证毕。如果 M 不是紧致的,但所有临界点均在某个紧致集 M^a 内,那么类似于定理 3.1的证明,可证明 M^a 是 M 的一个形变收缩核,所以定理依然得证。

如果存在无穷多个临界点,则上面的构造给我们一个同伦等价的无穷序列

$$M^{a_1} \subset M^{a_2} \subset M^{a_3} \subset \cdots$$

$$\downarrow \qquad \qquad \downarrow \qquad \qquad \downarrow$$

$$K_1 \subset K_2 \subset K_3 \subset \cdots$$

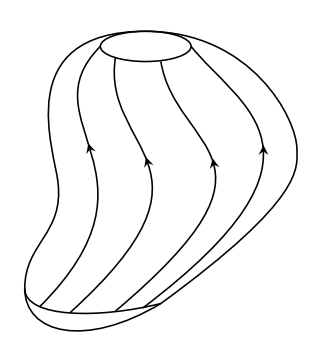
其中,每个映射都是前一个的扩张。令 K 表示直极限拓扑(即:可能的最细相容拓扑)中 K_i 的并,并且令 $g: M \to K$ 是极限映射。则 g 诱导所有维数的同伦群的同构。我们只需应用 [13] 的定理 1,就可以断定 g 是一个同伦等价。(Whitehead 的这个定理表述为:如果 M 和 K 都由 CW 复形所主导,则任意映射 $M \to K$,只要它诱导出各维数同伦群的同构,就必然是一个同伦等价。K 当然由它本身主导。要证明 M 也是由 CW 复形所控制,只需把 M 看作某个 Euclid 空间中管状邻域的收缩核即可)。定理 3.5 证毕。

注. 我们也证明了:每个 M^a 都具有有限 CW 复形的同伦型:对于 M^a 中每个指数为 λ 的临界点,这个复形有一个 λ 维胞腔。这个事实既是当 a 是一个临界值时也为真(见注 3.4)。

§ 4. 例子

作为 § 3 的定理的一个应用, 我们证明:

定理 4.1 (Reeb). 若 M 是一个紧致流形, f 是 M 上一个可微函数,只有两个临界点,均非退化,则 M 同胚于球面。



证明: 这个定理是从定理 3.1 以及 Morse 引理 (引理 2.2) 得到的。两个临界点必为极小点与极大点。比如说,f(p)=0 是极小值,f(q)=1 是极大值。若 ε 充分小,则由引理 2.2 知,集合 $M^\varepsilon=f^{-1}[0,\varepsilon]$ 和 $f^{-1}[1-\varepsilon,1]$ 都是闭的 n 维胞腔。但通过定理 3.1, M^ε 同胚于 $M^{1-\varepsilon}$ 。因此,M 是两个闭 n 维胞腔 $M^{1-\varepsilon}$ 和 $f^{-1}[1-\varepsilon,1]$ 沿着它们的公共边缘拼起来的并。现在很容易构造出 M 和 \mathbb{S}^n 之间的同胚映射。

注. 即使这两个临界点退化,定理仍然为真。但是,证明更困难一些。(见 [15] 中定理 1; 或者 [16] 的引理 1)。

注. 就 \mathbb{S}^n 通常的微分结构而言,M 不必微分同胚于 \mathbb{S}^n 。(见 [17]。在这篇文章中,通过在其上找到一个具有两个非退化临界点的函数,证明了一个带有非标准光滑结构的 7 维球面在拓扑上同胚于 \mathbb{S}^7 。)

作为前面诸定理的另一个应用,我们注意到: 如果一个 n 维流形上存在一个只有三个临界点的非退化函数,那么 (通过 Poincaré 对偶) 这些临界点的指标分别为 0, n 和 $\frac{n}{2}$,并且该流形同伦等价于在一个 $\frac{n}{2}$ 维球面再粘上一个 n 维胞腔。见 [18]。这种函数例如在实的或复的投影平面上就存在。令 $\mathbb{C}\mathbf{P}_n$ 是复投影 n 维空间。我们将 $\mathbb{C}\mathbf{P}_n$ 视为复数 (n+1) 元组 (z_0,\ldots,z_n) 组成的等价类的集合满足 $\sum |z_i|^2 = 1$ 。 (z_0,\ldots,z_n) 的等价类记为 $(z_0:z_1:\cdots:z_n)$ 。

在 $\mathbb{C}\mathbf{P}_n$ 上定义一个实值函数 f:

$$f(z_0:z_1:\cdots:z_n)=\sum c_j|z_j|^2,$$

其中, c_0, c_1, \ldots, c_n 是各不相同的实常数。

为了确定 f 的临界点,考虑下面的局部坐标系。令 U_0 是 $(z_0:z_1:\dots:z_n)$ 组成的集合满足 $z_0\neq 0$,并令

$$|z_0|\frac{z_j}{z_0} = x_j + \mathrm{i}y_j.$$

则

$$x_1, y_1, \ldots, x_n, y_n : U_0 \to \mathbb{R}$$

是所要的坐标函数,把 U_0 微分同胚地映射到 \mathbb{R}^{2n} 中的开单位球。显然,

$$|z_j|^2 = x_i^2 + y_i^2, \qquad |z_0|^2 = 1 - \sum_i (x_i^2 + y_i^2),$$

所以在整个坐标邻域 U_0 中处处有

$$f = c_0 + \sum_{j=1}^{n} (c_j - c_0)(x_j^2 + y_j^2).$$

因此 f 在 U_0 中只有一个临界点,位于这个坐标系的中心点

$$p_0 = (1:0:0:\cdots:0).$$

在这一点 f 是非退化的,其指数等于满足 $c_j < c_0$ 的 j 的数的二倍。 类似地,我们可以考虑另一个坐标系,其中心点分别为

$$p_1 = (0:1:0:\cdots:0), \ldots, p_n = (0:0:\cdots:0:1).$$

 $\mathbb{C}\mathbf{P}_n$ 等价于形如

$$e^0 \cup e^2 \cup e^4 \cup \cdots \cup e^{2n}$$

的 CW 复形。

从而, $\mathbb{C}\mathbf{P}_n$ 的整数同调群是

$$H_i(\mathbb{C}\mathbf{P}_n; \mathbb{Z}) = \begin{cases} \mathbb{Z}, & i = 0, 2, 4, \dots, 2n, \\ 0, & \text{其它情形}. \end{cases}$$

§ 5. Morse 不等式

Morse 原本处理这个主题的时候,定理 3.5 不可用。M 的拓扑与 M 上一个实值函数的临界点之间的关系则是用一组不等式来描述的。本节将描述这一原始观点。

定义. 令 S 是一个从某些空间的确定偶到整数的函数。S 是次可加的 (subadditive), 如果当 $X \supset Y \supset Z$ 我们有 $S(X,Z) \leq S(X,Y) + S(Y,Z)$ 。如果等号成立, S 被称为可加的 (additive)。

作为一个例子,把任何一个域 『作为系数群,令

$$R_{\lambda}(X,Y) = (X,Y)$$
的第 λ 个 Betti 数
= $H_{\lambda}(X,Y;\mathbb{F})$ 在 \mathbb{F} 上的秩,

其中,(X,Y) 是使得这个秩是有限的任意空间偶。 R_{λ} 是次可加的,这可通过考察 (X,Y,Z) 的正合序列的下面部分轻易验证:

$$\cdots \to H_{\lambda}(Y,Z) \to H_{\lambda}(X,Z) \to H_{\lambda}(X,Y) \to \cdots$$

Euler 示性数 $\chi(X,Y)$ 是可加的, 其中 $\chi(X,Y) = \sum (-1)^{\lambda} R_{\lambda}(X,Y)$ 。

引理 5.1. 令 S 是次可加的, $X_0 \subset \cdots \subset X_n$ 。则 $S(X_n, X_0) \leqslant \sum_{i=1}^n S(X_i, X_{i-1})$ 。如果 S 是可加的,则等号成立。

证明:对n用归纳法。n=1时等号显然成立,n=2的情况为(次)可加性的定义。

如果结论对 n-1 为真,则 $S(X_{n-1},X_0) \leqslant \sum_{i=1}^{n-1} S(X_i,X_{i-1})$ 。因此, $S(X_n,X_0) \leqslant S(X_{n-1},X_0) + \sum_{i=1}^{n} S(X_i,X_{i-1})$ 。因此, $S(X_n,X_0) \leqslant S(X_n,X_0) \leqslant S($

$$S(X_n, X_{n-1}) \leqslant \sum_{i=1}^n S(X_i, X_{i-1})$$
 并且结论对 n 成立。

$$S(X_n) \leqslant \sum_{i=1}^n S(X_i, X_{i-1}) \tag{1}$$

如果 S 是可加的,则等号成立。

令 M 是一个紧致流形而 f 是 M 上一个具有孤立、非退化、临界点的可微函数。令 $a_1 < \cdots < a_k$,使得 M^{a_i} 恰好含有 i 个临界点,而 $M^{a_k} = M$ 。于是

$$H_*(M^{a_i}, M^{a_{i-1}}) = H_*(M^{a_{i-1}} \cup e^{\lambda_i}, M^{a_{i-1}})$$

$$= H_*(e^{\lambda_i}, \dot{e}^{\lambda_i})$$
 (据截除定理)
$$= \begin{cases} 系数群, & 维数为\lambda_i \text{时}, \\ 0, & 其它情形. \end{cases}$$

其中, λ_i 是临界点的指标。

对于 $\emptyset = M^{a_0} \subset \cdots \subset M^{a_k} = M$ 和 $S = R_\lambda$ 应用方程 (1), 我们有

$$R_{\lambda}(M) \leqslant \sum_{i=1}^{n} R_{\lambda}(M^{a_i}, M^{a_{i-1}}) = C_{\lambda};$$

其中, C_{λ} 表示指标为 λ 的临界点的个数。把这个公式应用于 $S=\chi$ 的情况,我们有

$$\chi(M) = \sum_{i=1}^{k} \chi(M^{a_i}, M^{a_{i-1}}) = C_0 - C_1 + C_2 - \dots \pm C_n.$$

这样,我们就证明了

定理 5.2 (弱 Morse 不等式). 如果 C_{λ} 表示紧致流形 M 上指标为 λ 的临界点的个数,则

$$R_{\lambda}(M) \leqslant C_{\lambda},$$
 (2)

$$\sum (-1)^{\lambda} R_{\lambda}(M) = \sum (-1)^{\lambda} C_{\lambda}. \tag{3}$$

稍强一些不等式可以由下面的讨论得证。

引理 5.3. 函数 S_{λ} 是次可加的, 其中

$$S_{\lambda}(X,Y) = R_{\lambda}(X,Y) - R_{\lambda-1}(X,Y) + R_{\lambda-2}(X,Y) - \dots \pm R_0(X,Y).$$

证明:给定向量空间的一个正合序列

$$\xrightarrow{h} A \xrightarrow{i} B \xrightarrow{j} C \xrightarrow{k} \cdots \longrightarrow D \longrightarrow 0.$$

注意到同态映射 h 的秩加上 i 的秩等于 A 的秩, 因此,

$$\operatorname{rank} h = \operatorname{rank} A - \operatorname{rank} i$$

$$= \operatorname{rank} A - \operatorname{rank} B + \operatorname{rank} j$$

$$= \operatorname{rank} A - \operatorname{rank} B + \operatorname{rank} C - \operatorname{rank} k$$

$$\cdots$$

$$= \operatorname{rank} A - \operatorname{rank} B + \operatorname{rank} C - \cdots \pm \operatorname{rank} D.$$

П

因此,最后一个表达式是 $\geqslant 0$ 。现在考虑一个三元组 $X \supset Y \supset Z$ 的同调正合序列。将这个计算应用到同态映射

$$H_{\lambda+1}(X,Y) \xrightarrow{\partial} H_{\lambda}(Y,Z),$$

我们看到

$$\operatorname{rank} \partial = R_{\lambda}(Y, Z) - R_{\lambda}(X, Z) + R_{\lambda}(X, Y) - R_{\lambda-1}(Y, Z) + \cdots \geqslant 0.$$

合并同类项, 即得

$$S_{\lambda}(Y,Z) - S_{\lambda}(X,Z) + S_{\lambda}(X,Y) \geqslant 0.$$

证毕。

将 S_{λ} 这个次可加函数应用到空间

$$\varnothing \subset M^{a_1} \subset M^{a_2} \subset \cdots \subset M^{a_k}$$
,

我们得到 Morse 不等式 (Morse inequalities):

$$S_{\lambda}(M) \leqslant \sum_{i=1}^{k} S_{\lambda}(M^{a_i}, M^{a_{i-1}}) = c_{\lambda} - c_{\lambda-1} + \dots \pm c_0,$$

或者

$$R_{\lambda}(M) - R_{\lambda - 1}(M) + \dots \pm R_0(M) \leqslant c_{\lambda} - c_{\lambda - 1} + \dots \pm c_0. \tag{4}$$

这些不等式的确比前面的不等式强一些。事实上,将 (4_{λ}) 和 $(4_{\lambda-1})$ 相加,得到 (2_{λ}) ;当 $\lambda > n$ 时,比较 (4_{λ}) 和 $(4_{\lambda-1})$,则得到等式 (3)。

为了说明 Morse 不等式的用处,让我们假设 $c_{\lambda+1}=0$,于是 $R_{\lambda+1}$ 也必须是零。比较不等式 (4_{λ}) 和 $(4_{\lambda+1})$,我们看出

$$R_{\lambda} - R_{\lambda-1} + \cdots \pm R_0 = c_{\lambda-2} - c_{\lambda-3} + \cdots \pm c_0.$$

现在假设 $c_{\lambda-1}$ 也是零,于是 $R_{\lambda-1}=0$ 。同理可证

$$R_{\lambda-2} - R_{\lambda-3} + \cdots \pm R_0 = c_{\lambda-2} - c_{\lambda-3} + \cdots \pm c_0.$$

前面的等式减去这个等式, 我们得到下面的推论:

推论 5.4. 如果 $c_{\lambda+1} = c_{\lambda-1} = 0$,则 $R_{\lambda} = c_{\lambda}$,且 $R_{\lambda+1} = R_{\lambda-1} = 0$ 。

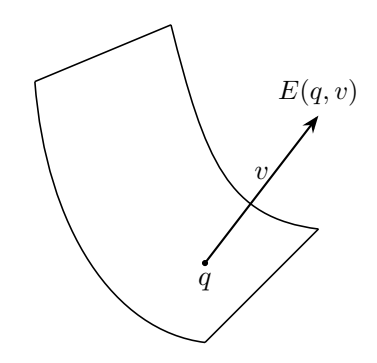
(当然,这个结果也可以从定理 3.5 得到)。注意,这个推论使我们能够求得复投影空间的同调群(见 \S 4)而无须用定理 3.5。

§ 6. Euclid 空间中的流形

尽管我们迄今所考虑的只是流形上没有退化临界点的函数,可是我们却还不曾证明:这种函数总是存在。在这一节中,我们将在嵌入 \mathbb{R}^n 的任意流形上构造许多没有退化临界点的函数。事实上,如果对于固定的 $p\in\mathbb{R}^n$ 定义函数 $L_p:M\to\mathbb{R}$ 为 $L_p(q)=\|p-q\|^2$,那么,对于几乎一切 p,函数 L_p 只有非退化临界点。

$$N = \{(q, v) : q \in M, v$$
在 q 处垂直于 M $\}$.

不难证明: N 是一个 n 维流形,微分嵌入 \mathbb{R}^{2n} 。(N 为 M 的法向量丛的全空间)。 令 $E: N \to \mathbb{R}^n$ 是 E(q, v) = q + v (E 为 "终点映射")。



定义. $e \in \mathbb{R}^n$ 称为 (M,q) 的焦点 (focal point), 具有重数 (multiplicity) μ , 如果 e = q + v, 其中 $(q,v) \in N$, E 在 (q,v) 处的 Jacobi 矩阵具有零化数 $\mu > 0$ 。点 e 称为 M 的焦点,如果对于某个 $q \in M$, $e \not\in M$, $e \not\in$

直观来说,M 的焦点是 \mathbb{R}^n 中一个点,使得邻近的发现在该处相交。

我们将用到下面这个定理, 而不证明。

定理 6.1 (Sard). 如果 M_1 和 M_2 是两个有可数基、维数相同的微分流形,并且 $f: M_1 \to M_2$ 是 C^1 映射,那么临界点集的像在 M_2 中具有测度 0。

f 的临界点是使得 f 的 Jacobi 矩阵为奇异矩阵的点。定理 6.1 的证明见 [19]。

推论 6.2. 对于几乎所有 $x \in \mathbb{R}^n$, 点 x 不是 M 的焦点。

证明: 我们刚才已经看到 N 是一个 n 维流形。点 x 是焦点,当且仅当 x 属于 $E:N\to\mathbb{R}^n$ 的临界点集的像。因此焦点集具有测度 0。

为了更好地理解焦点这个概念,比较方便的是引入 Euclid 空间中流形的"第二基本形式"。我们不尝试给出一个不变的定义,但是将使用固定局域坐标系。

令 u^1,\dots,u^k 是流形 $M\subset\mathbb{R}^n$ 上一个区域的坐标。则从 M 到 \mathbb{R}^n 的包含映射确定 n 个光滑函数

$$x_1(u^1,\ldots,u^k),\ldots,x_n(u^1,\ldots,u^k).$$

这些函数将简记为 $\vec{x}(u^1,\ldots,u^k)$,其中 $\vec{x}=(x_1,\ldots,x_n)$ 。为一致起见,点 $q\in M\subset\mathbb{R}^n$ 现在也记为 \vec{q} 。

与坐标系相关的**第一基本形式** (the first fundamental form) 定义为实值函数组成的对称矩阵

$$(g_{ij}) = \left(\frac{\partial \vec{x}}{\partial u^i} \cdot \frac{\partial \vec{x}}{\partial u^j}\right).$$

另一方面,**第二基本形式 (the first fundamental form)** 是向量值函数组成的对称矩阵 $(\vec{\ell}_{ij})$ 。

这个矩阵定义如下: 向量 $\frac{\partial^2 \vec{x}}{\partial u^i \partial u^j}$ 在 M 的某一点处可以表述为 M 的一个切向量和 M 的一个 法向量之和。定义 $\vec{\ell}_{ij}$ 为 $\frac{\partial \vec{x}}{\partial u^i \partial u^j}$ 的法向分量。给定 \vec{v} 是 M 在 \vec{q} 处的一个任意单位向量,矩阵

$$\left(\vec{v} \cdot \frac{\partial^2 \vec{x}}{\partial u^i \partial u^j}\right) = (\vec{v} \cdot \vec{\ell}_{ij})$$

可以称为 "M 在 \vec{q} 处沿方向 \vec{v} 的第二基本形式"。

为简化讨论,假设所选的坐标系使得 (g_{ij}) 在 \vec{q} 的值是单位矩阵。则矩阵 $(\vec{v} \cdot \vec{\ell}_{ij})$ 的特征值 K_1, \ldots, K_k 称为 M 在 \vec{q} 处沿法方向 \vec{v} 的**主曲率 (principal curvature)**。它们的倒数 $K_1^{-1}, \ldots, K_k^{-1}$ 称为**主曲率半径 (principal radii of curvature)**。当然,可能遇到 $(\vec{v} \cdot \vec{\ell}_{ij})$ 是奇异矩阵的情况。在这种情况下,各个 K_i 中将有一个或更多个为零,因而对应的曲率半径 K_i^{-1} 不确定。

现在考虑由所有的 $\vec{q} + t\vec{v}$ 组成的法线 ℓ , 其中 \vec{v} 是一个固定的单位向量, 在 \vec{q} 处与 M 正交。

引理 6.3. (M, \vec{q}) 沿 ℓ 的焦点正好是 $\vec{q} + K_i^{-1} \vec{v}$ 这些点,其中 $1 \leq i \leq k$, $K_i \neq 0$ 。因此, (M, \vec{q}) 沿着 ℓ 最多有 k 个焦点,每个焦点都是按其重数计算的。

证明: 选取流形上 n-k 个向量场 $\vec{w}_1(u^1,\ldots,u^k),\ldots,\vec{w}_{n-k}(u^1,\ldots,u^k)$ 使得 $\vec{w}_1,\ldots\vec{w}_{n-k}$ 是单位向量,彼此正交,且均与 M 正交。我们可以在流形 $N\subset M\times\mathbb{R}^n$ 上引入坐标 $(u^1,\ldots,u^k,t^1,\ldots,t^{n-k})$ 如下: 令 $(u^1,\ldots,u^k,t^1,\ldots,t^{n-k})$ 对应于点

$$(\vec{x}(u^1, \dots, u^k), \sum_{\alpha=1}^{n-k} t^{\alpha} \vec{w}_{\alpha}(u^1, \dots, u^k)) \in N.$$

则函数

$$E: N \to \mathbb{R}^n$$

产生对应关系

$$(u^1,\ldots,u^k,t^1,\ldots,t^{n-k}) \stackrel{\vec{e}}{\longmapsto} \vec{x}(u^1,\ldots,u^k) + \sum_{\alpha=1}^{n-k} t^{\alpha} \vec{w}_{\alpha}(u^1,\ldots,u^k),$$

具有下面的偏导数

$$\begin{split} \frac{\partial \vec{e}}{\partial u^i} &= \frac{\partial \vec{x}}{\partial u^i} + \sum_{\alpha} t^{\alpha} \frac{\partial \vec{w}_{\alpha}}{\partial u^i}, \\ \frac{\partial \vec{e}}{\partial t^{\beta}} &= \vec{w}_{\beta}. \end{split}$$

对这些 n 个向量与线性无关的向量 $\frac{\partial \vec{x}}{\partial u^1},\ldots,\frac{\partial \vec{x}}{\partial u^k},\vec{w}_1,\ldots,\vec{w}_{n-k}$ 逐一取内积得到一个 $n\times n$ 矩阵,这个矩阵的秩等于 E 在对应点处的 Jacobi 矩阵的秩。

这个 $n \times n$ 矩阵显然有下面的形式

$$\left(\left(\frac{\partial \vec{x}}{\partial u^i} \cdot \frac{\partial \vec{x}}{\partial u^j} + \sum_{\alpha} t^{\alpha} \frac{\partial \vec{w}_{\alpha}}{\partial u^i} \cdot \frac{\partial \vec{x}}{\partial u^j} \right) \quad \left(\sum_{\alpha} t^{\alpha} \frac{\partial \vec{w}_{\alpha}}{\partial u^i} \cdot \vec{w}_{\beta} \right) \right).$$
単位矩阵

因此,它的秩等于左上角的分块矩阵的秩再加上 n-k。利用恒等式

$$0 = \frac{\partial}{\partial u^i} \left(\vec{w}_{\alpha} \cdot \frac{\partial \vec{x}}{\partial u^j} \right) = \frac{\partial \vec{w}_{\alpha}}{\partial u^i} \cdot \frac{\partial \vec{x}}{\partial u^j} + \vec{w}_{\alpha} \cdot \frac{\partial^2 \vec{x}}{\partial u^i \partial u^j},$$

我们看到左上角分块矩阵正好就是矩阵

$$\left(g_{ij} - \sum_{\alpha} t^{\alpha} \vec{w}_{\alpha} \cdot \vec{\ell}_{ij}\right).$$

因此:

结论 6.4. $\vec{q}+t\vec{v}$ 是 (M,\vec{q}) 的重数为 μ 的焦点, 当且仅当矩阵

$$\left(g_{ij} - t\vec{v} \cdot \vec{\ell}_{ij}\right) \tag{*}$$

是零化数为 μ 的奇异矩阵。

现在假设 (g_{ij}) 是单位矩阵,则 (*) 是奇异的当且仅当 $\frac{1}{t}$ 是矩阵 $\left(\vec{v}\cdot\vec{\ell}_{ij}\right)$ 的一个特征值。此外,重数 μ 等于 $\frac{1}{t}$ 作为特征值的重数,引理 6.3 证毕。

现在对于固定的 $\vec{p} \in \mathbb{R}^n$, 让我们来研究函数

$$L_{\vec{n}} = f : M \to \mathbb{R},$$

其中

$$f(\vec{x}(u^1, \dots, u^k)) = ||\vec{x}(u^1, \dots, u^k) - \vec{p}||^2$$

= $\vec{x} \cdot \vec{x} - 2\vec{x} \cdot \vec{p} + \vec{p} \cdot \vec{x}$.

我们有

$$\frac{\partial f}{\partial u^i} = 2 \frac{\partial \vec{x}}{\partial u^i} \cdot (\vec{x} - \vec{p}).$$

因此, f 在 \vec{q} 处有一个临界点当且仅当 $\vec{q} - \vec{p}$ 是 M 在 \vec{q} 处的法向量。

在临界点处的二阶偏导数是

$$\frac{\partial^2 f}{\partial u^i \partial u^j} = 2 \left(\frac{\partial \vec{x}}{\partial u^i} \cdot \frac{\partial \vec{x}}{\partial u^j} + \frac{\partial^2 \vec{x}}{\partial u^i \partial u^j} \cdot (\vec{x} - \vec{p}) \right).$$

如引理 6.3 所证明, 令 $\vec{p} = \vec{x} + t\vec{v}$, 这变成

$$\frac{\partial^2 f}{\partial u^i \partial u^j} = 2 \left(g_{ij} - t \vec{v} \cdot \vec{\ell}_{ij} \right).$$

因此:

引理 6.5. 点 $\vec{q} \in M$ 是 $f = L_{\vec{p}}$ 的退化临界点当且仅当 \vec{p} 是 (M, \vec{q}) 的焦点。 \vec{q} 作为临界点的零化数等于 \vec{p} 作为焦点的重数。

把这个结果同 Sard 定理的推论 6.2 结合起来, 我们立即得到

定理 6.6. 对于几乎所有 $p \in \mathbb{R}^n$ (即除了一个测度为零的集合外), 函数

$$L_p: M \to \mathbb{R}$$

没有退化临界点。

这个定理还有几个有趣的推论。

推论 6.7. 在任意流形 M 上都存在没有退化临界点的可微函数,使得每个 M^{α} 都是紧致的。

证明:根据定理 6.6 以及 n 维流形 M 可以微分嵌入 \mathbb{R}^{2n+1} 作为一个闭子集的事实(见 [20], 113 页)得证。

应用 1. 微分流形具有 CW 复形的同伦型。这是从上述推论以及定理 3.5 推出的。

应用 2. 在紧致流形 M 上存在向量场 X,使得 X 的临界点的指标之和等于 M 的 Euler 示性数 $\chi(M)$ 。证明如下:对于 M 上任意可微函数 f,我们有 $\chi(M) = \sum (-1)^{\lambda} c_{\lambda}$,其中 c_{λ} 是指标为 λ 的临界点的个数,但是,在 f 的指标为 λ 的一点处,向量场 $\operatorname{grad} f$ 的指标是 $(-1)^{\lambda}$ 。

由此可见, M 上任意向量场的指标之和都等于 $\chi(M)$, 因为这个和数是一个拓扑不变量 (见 [21], § 39.7)。

上面的推论可以加强如下。令 $k \ge 0$ 是一个整数, $K \subset M$ 是紧致集。

推论 6.8. 任意有界光滑函数 $f: M \to \mathbb{R}$ 均可用无退化临界点的光滑函数 g 来均匀逼近。此外,可以选择函数 g,使得对于 $i \le k$ 时,g 的 i 阶导数在紧致集 K 上也均匀逼近 f 的对应导数。(见 [22])。

证明: 选择一个嵌入映射 $h: M \to \mathbb{R}^n$, 把 M 嵌入某个 Euclid 空间作为有界子集, 使得第一个坐标 h_1 正好是已知函数 f。令 c 是一个充分大的数。在点 $(-c,0,\ldots,0) \in \mathbb{R}^n$ 的附近选取一点

$$p = (-c + \varepsilon_1, \varepsilon_2, \dots, \varepsilon_n),$$

使得函数 $L_p: M \to \mathbb{R}$ 非退化。令

$$g(x) = \frac{L_{\vec{p}}(x) - c^2}{2c},$$

g 显然是非退化的。通过简单的计算, 我们有

$$g(x) = f(x) + \sum_{i=1}^{n} \frac{h_i(x)^2}{2c} - \sum_{i=1}^{n} \frac{\varepsilon_i h_i(x)}{c} + \sum_{i=1}^{n} \frac{\varepsilon_i^2}{2c} - \varepsilon_1.$$

显然,如果 c 充分大且 ε_i 充分小,则 g 将如要求逼近 f。

上面的理论也可以用来描述函数

$$L_n:M\to\mathbb{R}$$

在一个临界点处的指标。

引理 6.9 (L_p 的指标定理). L_p 在一个非退化临界点 $q \in M$ 处的指标等于 (M,q) 在从 q 到 p 的线段上的焦点数,每个焦点都是按其重数计算的。

第三章中有一个类似的命题(Morse 指标定理)是非常重要的。

证明: 矩阵

$$\left(\frac{\partial^2 L_p}{\partial u^i \partial u^j}\right) = 2(g_{ij} - t\vec{v} \cdot \vec{\ell}_{ij})$$

的指标等于负特征值的个数。假设 (g_{ij}) 是单位矩阵,这个指标就等于 $(\vec{v}\cdot\vec{\ell}_{ij})$ 的特征值中 $\geqslant \frac{1}{t}$ 的个数。把这个论述与引理 6.3 比较就得到所要的结论。

§ 7. 超平面截面上的 Lefschetz 定理

作为已经建立的那些理论的应用,我们来证明某些有关代数簇的拓扑结构的结果,这些结果本来是 Lefschetz 利用完全不同的论证证明的,我们现在的讲法属于 Andreotti 和 Frankel³。

定理 7.1. 如果 $M \subset \mathbb{C}^n$ 是 n 维复空间的非奇异仿射代数簇,它的实维数为 2k,则在 i > k 时, $H_i(M;\mathbb{Z}) = 0$ 。

这是下述更强的定理的推论。

定理 7.2. 令 M 是一个复解析流形,其复维数为 k,双解析嵌入 \mathbb{C}^n 作为闭子集,则 M 具有 k 维 CW 复形的同伦型。

证明分为以下几步: 首先考虑 k 个复变量的二次型

$$Q(z^1, \dots, z^k) = \sum b_{hj} z^h z^j.$$

如果我们用 $x^h + \mathrm{i} y^h$ 来代替 z^h ,然后取 Q 的实部,我们就得到具有 2k 个是变量的一个实二次型:

$$Q'(x^1,\ldots,x^k,y^1,\ldots,y^k) = \sum b_{hj}(x^h + \mathrm{i} y^h)(x^j + \mathrm{i} y^j)$$
的实部.

³见 [23] 和 [24]。

结论 1. 如果 e 是 Q' 的 μ 重特征值,则 -e 也是一个特征值,并且具有同样的重数 μ 。

证明:恒等式 $Q(\mathrm{i}z^1,\ldots,\mathrm{i}z^k)=-Q(z^1,\ldots,z^k)$ 表明:二次型 Q' 可以通过变量的正交变换变成 -Q'。由此显然得到结论 1。

现在考虑一个复流形 M, 双解析嵌入 \mathbb{C}^n 作为闭子集。令 q 是 M 的一点。

结论 2. (M,q) 沿任意法线 ℓ 的焦点成对出现,对称地分布在 q 的两侧。

另一方面,如果 q+tv 是焦点,则 q-tv 也是焦点,并且具有同样的重数。 证明: 在 q 的一个邻域内取 M 的复坐标 z^1,\ldots,z^k ,使得 $z^1(q)=\cdots=z^k(q)=0$ 。包含映射 $M\to\mathbb{C}^n$ 确定 n 个复解析函数

$$w_{\alpha} = w_{\alpha}(z^1, \dots, z^k), \quad \alpha = 1, \dots, n.$$

令 v 是固定单位向量, 在 q 处与 M 正交。考虑 w 和 v 的 Hermite 内积

$$\sum w_{\alpha}\overline{v}_{\alpha} = \sum w_{\alpha}(z^{1}, \dots, z^{k})\overline{v}_{\alpha},$$

它可以展开为复幂级数:

$$\sum w_{\alpha}(z^1,\ldots,z^k)\overline{v}_{\alpha} = \sharp \mathfrak{Y} + Q(z^1,\ldots,z^k) + \widehat{\mathfrak{g}} \mathfrak{P}_{\mathfrak{Y}},$$

其中,Q 表示一个二次齐次函数(因为v 与 M 正交,所以不出现线性项)。 现在用 x^h + iy^h 来代替 z^h 以得到 M 的一个实坐标系并考虑实内积

$$w \cdot v = \sum w_{\alpha} \overline{v}_{\alpha}$$
的实部

它具有实幂级数展开:

$$w \cdot v =$$
常数 + $Q'(x^1, \dots, x^k, y^1, \dots, y^k)$ + 高次项,

其中,二次型 Q' 显然确定 M 在 q 处沿法方向 v 的第二基本形式。按照结论 1,Q' 的特征值是正负成对出现的,所以 (M,q) 沿通过 q 和 q+v 的直线的焦点也是对称地成对出现,这就证明了结论 2。

我们现在准备好证明定理 7.2。证明: (定理 7.2 的证明) 选取点 $p \in \mathbb{C}^n$ 使得距离平方函数

$$L_p:M\to\mathbb{R}$$

没有退化临界点。因为 $M \in \mathbb{C}^n$ 的闭子集,显然可见,每个集合

$$M^a = L_p^{-1}[0, a]$$

是紧致的。现在考虑 L_q 在临界点 q 处的指标,按照引理 6.9,这个指标等于 (M,q) 在从 p 到 q 的 线段上的焦点个数。但是,沿着通过 p 和 q 的整个直线上至多有 2k 个焦点,对称地分布在 q 的两侧,因而至多只有 k 个焦点位于 p 和 q 之间。

于是, L_p 在 q 处的指标 $\leq k$,可见 M 和一个维数 $\leq k$ 的 CW 复形有相同的同伦型,定理 7.2 证毕。

推论 7.3 (Lefschetz). 令 V 是复投影空间 $\mathbb{C}\mathbf{P}_n$ 中的一个代数簇, 其复维数是 k。P 是 $\mathbb{C}\mathbf{P}_n$ 中的一 张超平面, 含有 V 的奇点 (如果存在的话)。因此, 包含映射

$$V \cap P \to V$$

诱导维数小于 k-1 的各同调群的同构。此外,诱导同态

$$H_{k-1}(V \cap P; \mathbb{Z}) \to H_{k-1}(V; \mathbb{Z})$$

是满射。

证明:利用空间偶 $(V,V\cap P)$ 的正合序列,显然只须证明: $r\leqslant k-1$ 时, $H_r(V,V\cap P;\mathbb{Z})=0$ 。但 Lefschetz 对偶定理断言

$$H_r(V, V \cap; \mathbb{Z}) \cong H^{2k-r}(V \setminus (V \cap P); \mathbb{Z}).$$

但 $V-(V\cap P)$ 是仿射空间 $\mathbb{C}\mathbf{P}_n-P$ 中的非奇异代数簇,因此从定理 7.2 得到对于 $r\leqslant k-1$,上 式右端的群是零群。

这个结果可以加强如下:

定理 7.4 (Lefschetz). 在上面推论的假设下, 当 r < k 时, 对应的同伦群 $\pi_r(V, V \cap P)$ 是零。

证明: 这个证明将基于下述事实: 存在 $V \cap P$ 的一个邻域 U, 可以在 V 中形变到 $V \cap P$ 。这个事实,例如,可以用代数簇可剖分定理来证明。

代替函数 $L_p: V \setminus (V \cap P) \to \mathbb{R}$, 我们将用 $f: V \to \mathbb{R}$, 定义为

$$f(x) = \begin{cases} 0, & \forall \exists x \in V \cap P, \\ \frac{1}{L_p}, & \forall \exists x \notin P. \end{cases}$$

因为 L_p 的临界点的指标 $\leq k$,可见 f 的临界点的指标 $\geq 2k-k=k$ 。函数 f 在 $\varepsilon \leq f < \infty$ 时没有退化临界点,所以 V 的同伦型与 $V^{\varepsilon}=f^{-1}[0,\varepsilon]$ 粘上有限多个维数 $\geq k$ 的胞腔后的同伦型相同。

选取 ε 充分小,使得 $V^\varepsilon \subset U$ 。令 I^r 表示 r 维单位方体。则因为 r < k,每个把 (I^r, \dot{I}^r) 映射 到 $(V, V \cap P)$ 的映射都可以形变为一个映射

$$(I^r, \dot{I}^r) \to (V^{\varepsilon}, V \cap P) \subset (U, V \cap P),$$

因此,可以形变为映入 $(V \cap P)$ 的映像,证毕。

第二章 Riemann 几何概要

- § 8. 协变微分
- § 9. 曲率张量
- § 10. 测地线与完备性

第三章 对变分学的应用:测地线

- § 11. 光滑流形的道路空间
- § 12. 道路的能量
- § 13. 能量函数在临界道路处的 Hesse 泛函
- § 14. Jacobi 场, E** 的零化子空间
- § 15. 指标定理
- § 16. Ω^c 的有限维逼近
- § 17. 全道路空间的拓扑结构
- § 18. 非共轭点的存在性
- § 19. 拓扑结构与曲率的某些关系

第四章 对 Lie 群和对称空间的应用

- § 20. 对称空间
- § 21. Lie 群是对称空间
- § 22. 极小测地线组成的全流形
- § 23. Bott 关于幺正群的周期性定理
- § 24. 正交群的周期性定理

附录 A 单调的并同伦型

参考文献

- [1] Richard S. Palais. "Morse Theory on Hilbert Manifolds". Topology, 2: pp. 299–340. 1963.
- [2] Stephen Smale. "Morse Theory and a Non-linear Generalization of the Dirichlet Problem". Annals of Mathematics, 802: pp. 382–396. 1964.
- [3] Michael Atiyah, and Raoul Bott. "On the Periodicity Theorem for Complex Vector Bundles". Acta Mathematica, 112: pp. 229–247. 1964.
- [4] R. Wood. "Banach Algebras and Bott Periodicity". Topology, 4: pp. 371–389. 1965.
- [5] John Milnor. Lectures on the h-Cobordism Theorem. Notes by L. Siebenmann and J. Sondow. Princeton, N.J.: Princeton University Press, 1965.
- [6] Marston Morse. The Calculus of Variations in the Large. Vol. 18. American Mathematical Society Colloquium Publications. Reprint of the 1932 original. Providence, RI: American Mathematical Society, 1996.
- [7] H. Seifert, and W. Threlfall. Variationsrechnung im Grossen: (Theorie von Marston Morse).New York: Chelsea Publishing Company, 1951.
- [8] Raoul Bott. "The Stable Homotopy of The Classical Groups". *Annals of Mathematics*, 702: pp. 313–337. 1959.
- [9] Raoul Bott. "Morse Theory and its Application to Homotopy Theory". Lecture notes by A. van de Ven. 1960.
- [10] Garrett Birkhoff, and Saunders Mac Lane. A Brief Survey of Modern Algebra. Second. The Macmillan Co., New York; Collier-Macmillan Ltd., London, 1965.
- [11] Lawrence M. Graves. *The Theory of Functions of Real Variables*. Second. New York–Toronto–London: McGraw-Hill, 1956.
- [12] Stephen Smale. "Generalized Poincaré's Conjecture in Dimensions Greater than Four". *Annals of Mathematics*, 742: pp. 391–406. 1961.
- [13] J. H. C. Whitehead. "Combinatorial Homotopy. I". Bulletin of the American Mathematical Society, 55: pp. 213–245. 1949.
- [14] J. H. C. Whitehead. "On Simply Connected, 4-dimensional Polyhedra". Commentarii Mathematici Helvetici, 22: pp. 48–92. 1949.
- [15] John W. Milnor. "Differential Topology". In: Lectures on Modern Mathematics. Ed. by T. L. Saaty. Vol. II. New York-London-Sydney: John Wiley & Sons, Inc., 1964, pp. 165–183.
- [16] Ronald Rosen. A Weak Form of the Star Conjecture for Manifolds. Abstract 570-28. 1960.

参考文献 31

[17] John W. Milnor. "On Manifolds Homeomorphic to the 7-Sphere". Annals of Mathematics, 642: pp. 399–405. 1956.

- [18] Jr. James Eells, and Nicolaas H. Kuiper. "Manifolds Which Are Like Projective Planes". Institut des Hautes Études Scientifiques. Publications Mathématiques, 14: pp. 5–46. 1962.
- [19] Georges De Rham. Variétés Différentiables. English translation: Differentiable Manifolds, 1984.
 Paris: Hermann, 1960.
- [20] Hassler Whitney. Geometric Integration Theory. Originally published: Princeton University Press, 1957. Mineola, NY: Dover Publications Inc., 2005.
- [21] Norman Steenrod. *The Topology of Fibre Bundles*. Vol. 14. Princeton Mathematical Series. Princeton, N.J.: Princeton University Press, 1951.
- [22] Marston Morse. "The Critical Points of a Function of n Variables". Transactions of the American Mathematical Society, 331: pp. 72–91. 1931.
- [23] Solomon Lefschetz. L'Analysis Situs et la Géométrie Algébrique. Paris: Gauthier-Villars, 1924.
- [24] Aldo Andreotti, and Theodore Frankel. "The Lefschetz Theorem on Hyperplane Sections".

 Annals of Mathematics, 692: pp. 713–717. 1959.
- [25] Michael F. Atiyah, Raul Bott, and A. Shapiro. "Clifford Modules". *Topology*, 3(suppl. 1): pp. 3–38. 1964.
- [26] W. Ambrose. "The Index Theorem in Riemannian Geometry". Annals of Mathematics, 732: pp. 49–86. 1961.
- [27] Richard L. Bishop, and Richard J. Crittenden. Geometry of Manifolds. AMS Chelsea Publishing. Reprint of the 1964 original. Providence, RI: American Mathematical Society, 2001.
- [28] Marcel Berger. "Sur Certaines Variétés Riemanniennes à Courbure Positive". Comptes Rendus de l'Académie des Sciences de Paris, 247: pp. 1165–1168. 1958.
- [29] Shiing-shen Chern. "On Curvature and Characteristic Classes of a Riemann Manifold". Abhandlungen aus dem Mathematischen Seminar der Universität Hamburg, 20: pp. 117–126. 1955.
- [30] R. Courant. "Über die Abhängigkeit der Schwingungszahlen einer Membran von ihrer Begrenzung und über asymptotische Eigenwertverteilung". Nachrichten von der Gesellschaft der Wissenschaften zu Göttingen, Mathematisch-Physikalische Klasse: pp. 255–264. 1919.
- [31] Georges De Rham. "Sur la Réductibilité d'un Espace de Riemann". Commentarii Mathematici Helvetici, 26: pp. 328–344. 1952.
- [32] Beno Eckmann. "Gruppentheoretischer Beweis des Satzes von Hurwitz-Radon über die Komposition Qadratischer Formen". Commentarii Mathematici Helvetici, 15: pp. 358–366. 1943.
- [33] N. V. Efimov. "Impossibility of a Complete Regular Surface in Euclidean 3-Space Whose Gaussian Curvature Has a Negative Upper Bound". Doklady Akademii Nauk SSSR, 150: pp. 1206–1209. 1963.
- [34] Samuel I. Goldberg. Curvature and Homology. Vol. XI. Pure and Applied Mathematics. New York-London: Academic Press, 1962.

参考文献 32

[35] David Hilbert, and Stefan Cohn-Vossen. Geometry and the Imagination. Trans. by P. Neményi. Translation of Anschauliche Geometrie, 1932. New York, N.Y.: Chelsea Publishing Company, 1952.

- [36] Sigurdur Helgason. Differential Geometry and Symmetric Spaces. Vol. XII. Pure and Applied Mathematics. New York–London: Academic Press, 1962.
- [37] Noel J. Hicks. Notes on Differential Geometry. Van Nostrand Mathematical Studies 3. Princeton, N.J.-Toronto-London: D. Van Nostrand Co., Inc., 1965.
- [38] Heinz Hopf, and Willi Rinow. "Über den Begriff der vollständigen differentialgeometrischen Fläche". Commentarii Mathematici Helvetici, 31: pp. 209–225. 1931.
- [39] Sze-tsen Hu. Homotopy Theory. Vol. VIII. Pure and Applied Mathematics. New York-London: Academic Press, 1959.
- [40] Kenkichi Iwasawa. "On Some Types of Topological Groups". Annals of Mathematics, 502: pp. 507–558. 1949.
- [41] Detlef Laugwitz. *Differential and Riemannian Geometry*. Trans. by Fritz Steinhardt. New York-London: Academic Press, 1965.
- [42] Sumner B. Myers. "Riemannian Manifolds with Positive Mean Curvature". Duke Mathematical Journal, 8: pp. 401–404. 1941.
- [43] Katsumi Nomizu. *Lie Groups and Differential Geometry*. Tokyo: The Mathematical Society of Japan, 1956.
- [44] Jean-Pierre Serre. "Homologie Singulière des Espaces Fibrés. Applications". Annals of Mathematics, 542: pp. 425–505. 1951.
- [45] Shlomo Sternberg. Lectures on Differential Geometry. Englewood Cliffs, N.J.: Prentice-Hall, Inc., 1964.
- [46] J. L. Synge. "On the Connectivity of Spaces of Positive Curvature". The Quarterly Journal of Mathematics, 71: pp. 316–320. 1936.
- [47] J. H. C. Whitehead. "Convex Regions in the Geometry of Paths". The Quarterly Journal of Mathematics, 1: pp. 33–42. 1932.
- [48] Kentaro Yano, and Salomon Bochner. Curvature and Betti Numbers. Annals of Mathematics Studies 32. Princeton, N. J.: Princeton University Press, 1953.